



БИООРГАНИЧЕСКАЯ ХИМИЯ

Том 20 * № 8—9 * 1994

УДК 543.422.25 : 547.458.057 : 577.114.012

© 1994 Н. Э. Нифантьев, А. С. Шашков, Е. А. Хатунцева,
Ю. Е. Цветков, А. А. Шерман, Н. К. Кочетков

СИНТЕЗ И ИССЛЕДОВАНИЕ СПЕКТРОВ ЯМР И КОНФОРМАЦИЙ РАЗВЕТВЛЕННЫХ ОЛИГОСАХАРИДОВ 15°. 2,3-Ди-О-ГЛИКОЗИЛИРОВАННЫЕ МЕТИЛ- α -L-РАМНОПИРАНОЗИДЫ С ОДНИМ ИЛИ ДВУМЯ 2-АЦЕТАМИДО-2-ДЕЗОКСИ- β -D-ГЛЮКОПИРАНОЗИЛЬНЫМИ ОСТАТКАМИ

Институт органической химии им. Н. Д. Зелинского РАН, Москва

Ключевые слова: спектроскопия ^{13}C -ЯМР, олигосахариды разветвленные, отклонения от аддитивности в спектрах ЯМР.

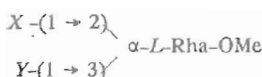
Для исследования спектральных (^{13}C -ЯМР) особенностей разветвленных по вицинальным положениям олигосахаридов синтезирована группа 2,3-ди-О-гликозилированных производных метил- α -L-рамнопиранозида, содержащих в качестве одного или обоих заместителей 2-ацетамидо-2-дезокси- β -D-глюкопиранозильный остаток. Для исследуемых трисахаридов определены величины отклонений от аддитивности ($\Delta\Delta$) химических сдвигов атомов углерода в спектрах ^{13}C -ЯМР и показано, что в случае соединений, содержащих остаток GlcNAc при O2 дизамещенной рамнозы, наблюдаемые величины $\Delta\Delta$ могут отличаться от таковых для трисахаридов с β -D-глюкопиранозильными заместителями.

В рамках программы по синтезу и исследованию особенностей спектров ЯМР и конформаций разветвленных олигосахаридов, осуществляющейся с целью дальнейшего развития компьютерного метода установления строения разветвленных полисахаридов [2—4], нами изучалась широкая серия 2,3-ди-О-гликозилированных производных метил- α -L-рамнопиранозида, относящихся к группе трисахаридов с 2-аксиально,3-экваториальным разветвлением. Было найдено, что в спектрах ^{13}C -ЯМР ряда трисахаридов, моносахаридные заместители в которых пространственно сближены, могут наблюдаться отклонения от аддитивности величин химических сдвигов атомов углерода. На основании теоретических и экспериментальных конформационных исследований, проведенных с привлече-

* Сообщение 14 см. [1].

Использованы сокращения: Pht — фтaloил, Bn — бензил.

нием молекулярно-механических расчетов и экспериментов по ядерным эффектам Оверхаузера [5, 6], было показано, что возникновение отклонений от аддитивности связано с конформационными различиями между трисахаридами и свободными дисахаридами, соответствующими дисахаридным фрагментам. Нами исследовалась зависимость величин отклонения от аддитивности ($\Delta\Delta$) от аномерной и абсолютной конфигураций моносахаридных заместителей [5, 6], а также конфигураций их C2—C4-атомов [7]. Данная работа посвящена изучению отклонений от аддитивности в спектрах трисахаридов (1)—(5), содержащих 1 или 2 2-ацетамидо-2-дезокси- β -D-глюкопиранозильных остатка, и сравнению величин $\Delta\Delta$ для этих соединений с таковыми для соответствующих трисахаридов (6)—(10), содержащих остатки GlcNAc вместо GlcNAc.



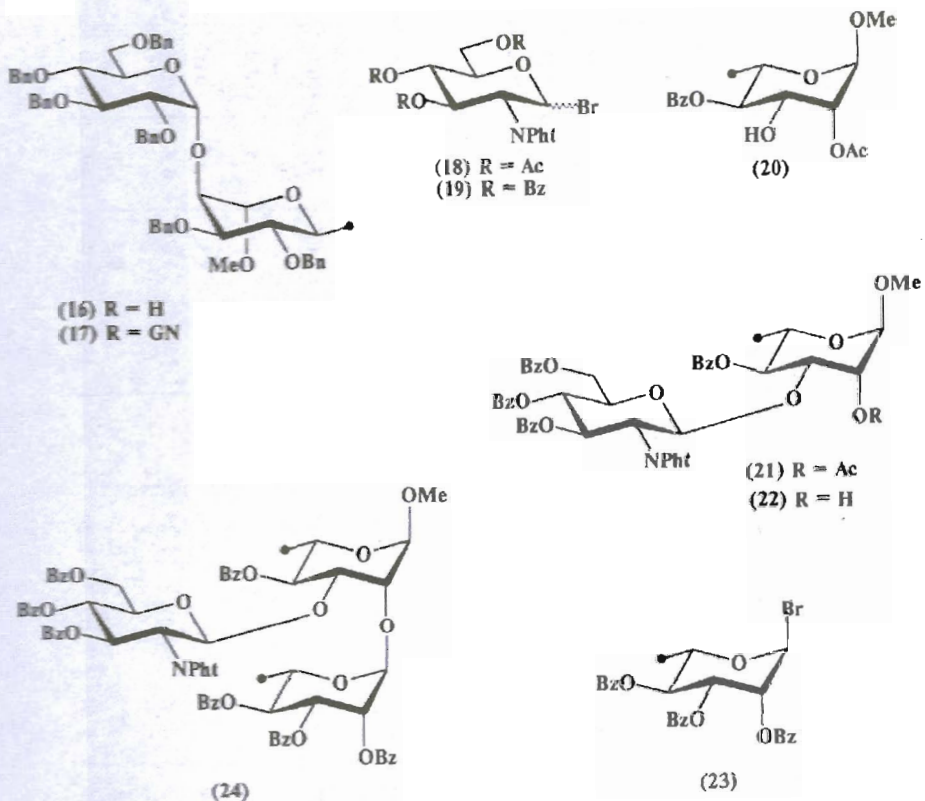
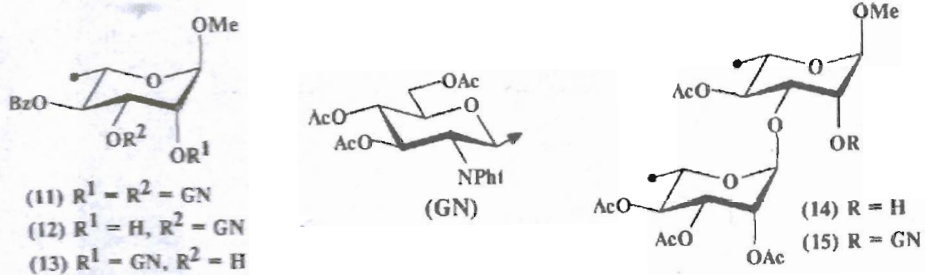
X	Y	X	Y
(1) β -D-GlcNAc	β -D-GlcNAc	(6) β -D-Glc	β -D-Glc
(2) β -D-GlcNAc	α -L-Rha	(7) β -D-Glc	α -L-Rha
(3) α -D-Glc	β -D-GlcNAc	(8) α -D-Man	β -D-Glc
(4) α -L-Rha	β -D-GlcNAc	(9) α -L-Rha	β -D-Glc
(5) β -D-GlcNAc	α -D-Glc	(10) β -D-Glc	α -D-Man

Это исследование проведено с целью выяснения вопроса о правомочности перенесения величин $\Delta\Delta$, полученных для олигосахаридов, построенных из остатков нейтральных моносахаридов, на случаи стереохимически подобных [8] трисахаридов, содержащих в качестве заместителя остаток аминосахара. Выбор трисахаридов (2)—(5) в качестве моделей для данной работы определен тем, что разветвленные фрагменты такого типа присутствуют в природных полисахаридах. Например, соединения (2)—(4) являются метилгликозидами разветвленных трисахаридных фрагментов O-специфических полисахаридов *Vibrio fluvialis* [9], *Haemophilus pleuropneumoniae* серотипа 1 [10] и полисахарида клеточной стенки стрептококков группы А [11] соответственно. Трисахаридный разветвленный фрагмент, такой же, как в соединении (5), встречается в целом ряде O-специфических полисахаридов, например в O-антителах *Escherichia coli* O4 [12], а также *Shigella flexneri*, типы X и 5a [13].

Синтез трисахарида (5) и его спектр ^{13}C -ЯМР были описаны ранее [14]. Бисглюказаминид (1) получен из защищенного предшественника (11) [15] гидразинолизом и последующим N-ацетилированием. Гликозилированием дисахаридов (14) [16] и (16) [7] с помощью глюказаминилбромида (18) были синтезированы защищенные трисахариды (15) и (17), которые затем были переведены в свободные N-ацетилированные производные (2) и (3) соответственно.

Для получения трисахарида (4) проводилось гликозилирование метил-2-O-ацетил-4-O-бензоил- α -L-рамнопиранозида (20) [17] бензоилированным глюказаминилбромидом (19) [17] в условиях реакции Гельфериха. Образующийся дисахарид (21) был переведен в моногидроксильное производное (22) с помощью мягкого метанолиза [18]. Гликозилированием соединения (22) бензобромурамнозой (23) далее был получен защищенный трисахарид (24), удаление ацильных заместителей в котором и последующее N-ацетилирование приводили к целевому трисахариду (4).

Как и ранее [7, 19—21], структуры синтезированных в этой работе трисахаридов, и прежде всего конфигурации вновь образовавшихся гликозидных связей, были подтверждены с помощью спектроскопии ^1H - и ^{13}C -ЯМР после удаления защитных групп (табл. 1 и 2). Отнесение сигналов в спектрах ^1H -ЯМР проводилось с помощью двумерной гомоядерной спектроскопии, а в спектрах ^{13}C -ЯМР — с помощью двумерной гетероядерной спектроскопии. Условия съемки одно- и дву-



мерных спектров ЯМР подробно описаны в предыдущих сообщениях данной серии [5, 19, 22].

Нами были также синтезированы дисахарида (25) и (28), данные спектров которых необходимы для расчета величин $\Delta\Delta$ в спектрах ^{13}C -ЯМР трисахаридов (1)–(5). Спектры остальных (1 → 2)- и (1 → 3)-связанных дисахаридов — соединений (26), (27), (29) и (30) были описаны ранее [7, 19].

X-(1 → 2)- α -L-Rha-OMe

	X
(25)	β -D-GlcNAc
(26)	α -D-Glc
(27)	α -L-Rha

X-(1 → 3)- α -L-Rha-OMe

(28)
(29)
(30)

Величины $\Delta\Delta$, наблюдаемые в спектрах ^{13}C -ЯМР соединений (1)–(5), приведены в табл. 3, в которую также включены и данные для исследовавшихся

Таблица 1

Данные спектров ^1H -ЯМР трисахаридов (1)–(4) и дисахаридов (25) и (26) (D_2O , δ , м. д.; J , Гц)

Соседи- ние	Остаток	H1	H2	H3	H4	H5	H6a	H6b	OMe	$J_{1,2}$	$J_{2,3}$	$J_{3,4}$	$J_{4,5}$	$J_{5,6a}$	$J_{5,6b}$	$J_{6a,6b}$
(1)	$\beta\text{DGlcNAc}(1\rightarrow 2)$	4,85	3,68	3,51	3,35—3,47		3,70—3,92			8,5	9,5					
	$\beta\text{DGlcNAc}(1\rightarrow 3)$	4,57	3,75	3,52	3,35—3,47		3,70—3,92			8,5	10,0					
	$>\alpha\text{LRha-OMe}$	4,72	4,19	3,70	3,27	3,58	1,22			3,34	2,0	2,5	10,0	10,0	6,5	6,5
(2)	$\beta\text{DGlcNAc}(1\rightarrow 2)$	4,61	3,71	3,60	3,41—3,48		3,74	3,90		8,0	10,5	8,0	10,0	10,0	5,5	2,0
	$\alpha\text{LRha}(1\rightarrow 3)$	5,06	4,03	3,74	3,50	3,68	1,29			2,0	3,5	2,0	2,5	9,5	6,5	12,5
	$>\alpha\text{LRha-OMe}$	4,84	4,01	3,84	3,45	3,66	1,29			3,40	2,0	2,5	9,5	9,5	6,5	
(3)	$\alpha\text{DGlc}(1\rightarrow 2)$	4,99	3,51	3,74	3,46	4,12	3,87			4,0	10,0	10,0	10,0	10,0	3,5	3,5
	$\beta\text{DGlcNAc}(1\rightarrow 3)$	4,73	3,65	3,48—3,60	3,60	3,41	3,74	3,93		8,5	10,5	8,5	10,5	10,5	5,5	2,0
	$>\alpha\text{LRha-OMe}$	4,77	4,11	3,87	3,56	3,69	1,31			3,41	2,0	3,5	10,0	10,0	6,1	6,1
(4)	$\alpha\text{LRha}(1\rightarrow 2)$	5,11	4,02	3,77	3,42	3,70	1,27			2,0	3,5	10,0	9,5	9,5	6,5	6,5
	$\beta\text{DGlcNAc}(1\rightarrow 3)$	4,66	3,72	3,53	3,42—3,57		3,76	3,91		8,5	10,0	9,5	10,0	10,0	5,0	2,0
	$>\alpha\text{LRha-OMe}$	4,70	4,14	3,81	3,49	3,67	1,27			3,38	2,0	3,5	10,0	10,0	6,5	6,5
(25)	$\beta\text{DGlcNAc}(1\rightarrow 2)$	4,72	3,72	3,58	3,41—3,51		3,76	3,97		8,5	10,5	9,0	10,0	10,0	6,0	2,0
	$>\alpha\text{LRha-OMe}$	4,86	4,00	3,79	3,34	3,65	1,29			3,40	2,0	3,5	10,0	10,0	6,5	6,5
	$\beta\text{DGlcNAc}(1\rightarrow 3)$	4,69	3,73	3,57	3,40—3,51		3,75	3,90		8,5	11,0	9,0	10,0	10,0	5,0	2,0
(28)	$>\alpha\text{LRha-OMe}$	4,68	4,11	3,75	3,49	3,67	1,29			3,39	2,0	3,5	10,0	10,0	6,5	6,5

Таблица 2

Данные спектров ^{13}C -ЯМР трисахаридов (1)–(5), дисахаридов (25)–(30) и метил- α -L-рамнопиранозида (31) (D_2O , δ , м. д.)

Соединение	Остаток	C1	C2	C3	C4	C5	C6	OMe	CH ₃ C
(1)	β DGlcNAc(1-2)	103,2	56,8	75,3	71,2	77,2	62,0		23,6*
	β DGlcNAc(1-3)	104,6	57,3	75,1	71,0	77,5	62,0		23,8*
	$>\alpha$ LRha-OMe	101,4	78,2	82,2	72,2	70,2	18,1	56,1	
(2)	β DGlcNAc(1-2)	103,6	57,3	74,7	71,5	77,1	62,2		23,8
	α LRha(1-3)	103,3	71,5	71,9	73,5	70,5	18,0		
	$>\alpha$ LRha-OMe	101,5	78,8	77,7	73,6	70,3	17,9*	56,1	
(3)	α DGlc(1-2)	98,6	70,9	74,3	71,6	72,9	61,8		
	β DGlcNAc(1-3)	104,0	57,3	75,4	72,6	77,1	62,4		23,6
	$>\alpha$ LRha-OMe	99,6	76,8	79,4	72,9	70,4	17,8	56,1	
(4)	α LRha(1-2)	102,7	71,4	71,2	73,4	70,2	17,8		
	β DGlcNAc(1-3)	103,5	57,2	75,1	71,2	77,0	62,2		23,4
	$>\alpha$ LRha-OMe	101,0	77,7	80,8	72,5	69,9	17,8	56,0	
(5) [7]	β DGlcNAc(1-2)	103,6	56,8	75,2	71,1	77,2	61,6		23,8
	α DGlc(1-3)	96,0	75,2	74,3	70,7	72,7	62,0		
	$>\alpha$ LRha-OMe	101,1	75,4	75,4	72,1	70,0	18,0	56,1	
(25)	β DGlcNAc(1-2)	104,0	57,1	75,0	71,2	77,1	61,9		23,6
	$-\alpha$ LRha-OMe	101,0	79,9	71,1	73,6	69,8	17,9	56,1	
(26)	α DGlc(1-2)	98,9	72,7	74,1	70,9	73,3	61,8		
	$-\alpha$ LRha-OMe	99,6	77,4	71,1	73,4	70,0	17,9	56,1	
(27)	α LRha(1-2)	103,4	71,4	71,4	73,4	70,3	18,1		
	$-\alpha$ LRha-OMe	100,9	79,6	71,4	73,6	69,8	17,8	56,2	
(28)	β DGlcNAc(1-3)	104,2	57,1	75,0	71,2	77,1	61,9		23,5
	$-\alpha$ LRha-OMe	101,8	71,1	81,4	72,2	70,1	17,9	56,1	
(29)	α DGlc(1-3)	97,0	72,7	74,3	70,9	73,1	61,8		
	$-\alpha$ LRha-OMe	101,8	68,0	77,2	71,7	69,8	18,0	56,0	
(30)	α LRha(1-3)	103,3	71,1	71,1	73,0	70,0	17,6		
	$-\alpha$ LRha-OMe	101,8	70,8	79,0	72,4	69,6	17,6	56,1	
(31)	α LRha-OMe	102,1	71,3	71,6	73,3	69,6	17,8	55,9	

* Отнесение может быть изменено на обратное.

Таблица 3

Отклонения от аддитивности (м. д.) в спектрах ^{13}C -ЯМР трисахаридов (1)–(10)
для атомов C1—C6, C1' и C1'' (обозначения атомов как на рис. 1)

Соединение	Отклонения от аддитивности							
	C1	C2	C3	C4	C5	C6	C1'	C1''
$\beta\text{DGlcNAc}(1\rightarrow 2)\backslash\alpha\text{LRha-OMe}$	0,7	-1,5	1,3	-0,3	-0,1	0,1	-0,8	0,4
$\beta\text{DGlcNAc}(1\rightarrow 3)/$ (1)								
$\beta\text{DGlc}(1\rightarrow 2)\backslash\alpha\text{LRha-OMe}$	0,6	-0,5	-0,2	-0,4	0,1	0	-0,2	0,1
$\beta\text{DGlc}(1\rightarrow 3)/$ (6)								
$\beta\text{DGlcNAc}(1\rightarrow 2)\backslash\alpha\text{LRha-OMe}$	0,8	-0,6	-0,8	0,9	0,5	0,2	-0,4	0
$\alpha\text{LRha}(1\rightarrow 3)/$ (2)								
$\beta\text{DGlc}(1\rightarrow 2)\backslash\alpha\text{LRha-OMe}$	0,8	-0,2	-0,6	0,6	0,4	0,2	0	0,4
$\alpha\text{LRha}(1\rightarrow 3)/$ (7)								
$\alpha\text{DGlc}(1\rightarrow 2)\backslash\alpha\text{LRha-OMe}$	0,3	-0,4	-1,5	0,6	-0,1	-0,2	-0,3	-0,2
$\beta\text{DGlcNAc}(1\rightarrow 3)/$ (3)								
$\alpha\text{DMan}(1\rightarrow 2)\backslash\alpha\text{LRha-OMe}$	0,6	0,5	-1,3	0,2	0	-0,3	-0,1	0,5
$\beta\text{DGlc}(1\rightarrow 3)/$ (8)								
$\alpha\text{LRha}(1\rightarrow 2)\backslash\alpha\text{LRha-OMe}$	0,4	-1,7	-0,4	0	-0,4	-0,1	-0,7	-0,7
$\beta\text{DGlcNAc}(1\rightarrow 3)/$ (4)								
$\alpha\text{LRha}(1\rightarrow 2)\backslash\alpha\text{LRha-OMe}$	0,3	-1,5	0	-0,3	0,4	-0,2	-0,7	0,1
$\beta\text{DGlc}(1\rightarrow 3)/$ (9)								
$\beta\text{DGlcNAc}(1\rightarrow 2)\backslash\alpha\text{LRha-OMe}$	0,4	-1,2	-1,3	0,1	0	-0,1	-1,0	-1,0
$\alpha\text{DGlc}(1\rightarrow 3)/$ (5)								
$\beta\text{DGlc}(1\rightarrow 2)\backslash\alpha\text{LRha-OMe}$	0,3	0	0,2	-0,2	-0,1	0	0	0,4
$\alpha\text{DGlc}(1\rightarrow 3)/$ (10)								

нами ранее трисахаридов (6)–(10) [6, 7]. Величины $\Delta\Delta$ были рассчитаны по известным [5–7] формулам. Так, в случае атомов углерода метилрамнозидного фрагмента, например для Ci использовалась формула (1), а для углеродов C1' и C1'' (аномерные атомы углерода моносахаридных остатков при O2 и O3 соответственно, см. рис. 1) — формулы (2) и (3).

$$\Delta\Delta\delta\text{Ci} = \delta\text{Ci}_{\text{TC}} - \delta\text{Ci}_{(1\rightarrow 2)} - \delta\text{Ci}_{(1\rightarrow 3)} + \delta\text{Ci}_{\text{RhaOMe}} \quad (1)$$

$$\Delta\Delta\delta\text{C1}' = \delta\text{C1}'_{\text{TC}} - \delta\text{C1}'_{(1\rightarrow 2)} \quad (2)$$

$$\Delta\Delta\delta\text{C1}'' = \delta\text{C1}''_{\text{TC}} - \delta\text{C1}''_{(1\rightarrow 3)} \quad (3)$$

В формуле (1) $\delta\text{Ci}_{\text{TC}}$, $\delta\text{Ci}_{(1\rightarrow 2)}$, $\delta\text{Ci}_{(1\rightarrow 3)}$ и $\delta\text{Ci}_{\text{RhaOMe}}$ — химические сдвиги сигнала атома Ci в спектрах ^{13}C -ЯМР исследуемого трисахарида, соответствующих ему (1 → 2)- и (1 → 3)-связанных дисахаридов и метил- α -L-рамнопиранозида.

Сравнение данных табл. 3 показывает, что при переходе от трисахаридов,

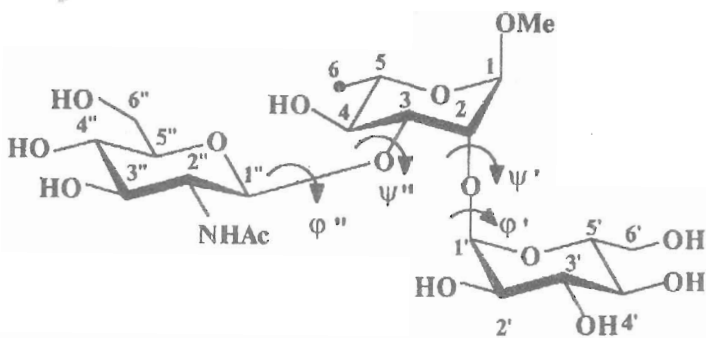


Рис. 1. Нумерация атомов и углов межсвязевого вращения в трисахаридах (приведен трисахарид (3))

содержащих β -D-глюкопиранозильный заместитель, к глюкозаминильным аналогам может наблюдаться как совпадение (пары (2) и (7), (3) и (8), (4) и (9)), так и различие величин $\Delta\Delta$ (пары (1) и (6), (5) и (10)). Обращает на себя внимание тот факт, что несовпадение отклонений от аддитивности выявлено в случае трисахаридов (1), (5), содержащих глюкозаминильный заместитель при O2.

Как отмечалось выше, причиной возникновения отклонений от аддитивности в спектрах трисахаридов рассматриваемого типа являются дисперсионные взаимодействия моносахаридных заместителей, сближенных благодаря их вицинальному расположению. Поэтому наличие или отсутствие расхождений в величинах $\Delta\Delta$ в спектрах трисахаридов (1)–(5) и соответствующих им нейтральных аналогов может быть качественно объяснено, а в ряде случаев и предсказано с учетом конформационных свойств дисахаридных фрагментов, составляющих рассматриваемые трисахариды.

Теоретический конформационный анализ [23–27] предсказывает для 2-O- и 3-O-(2-ацетамило-2-дезокси- β -D-глюкопиранозил)- α -L-рамнопиранозильных фрагментов существование преобладающего конформера с go -ориентацией агликона (рамнозный остаток) по отношению к C1—O5-связи в глюкозаминовом заместителе. Таким образом, можно ожидать, что в преобладающих конформерах соединений с (1 → 3)-связью между GlcNAc и Rha-OMe-звеньями объемная ацетамидная группировка ориентирована в сторону, противоположную заместителю при O2 дизамещенной рамнозы (см. рис. 2Б). Поэтому для пар трисахаридов с глюкозаминильным заместителем при O3 и их нейтральных аналогов обоснованно можно ожидать подобия в их конформационных свойствах и, как следствие [6], совпадения величин $\Delta\Delta$. Это наглядно подтверждают данные для пар трисахаридов (3), (8) и (4), (9), приведенные в табл. 3. Так, наибольшая разница между отклонениями от аддитивности в случае трисахаридов (4) и (9) составляет 0,8 м. д. (для C1''), а в случае (3) и (8) — 0,9 м. д. (для C2''), что сопоставимо с допустимой ошибкой расчета величин $\Delta\Delta$ [8]. Пара соединений (3) и (8) дополнительно отличается конфигурацией атомов C2', однако, как нами отмечалось ранее [7], это различие практически не влияет на величины $\Delta\Delta$.

Противоположная ситуация может быть предсказана для трисахаридов, содержащих β -D-глюкозаминилрамнозидный дисахаридный фрагмент с 1—2-связью, в преобладающем конформере которого ацетамидная группировка GlcNAc, вероятнее всего, ориентирована в сторону второго моносахаридного заместителя, находящегося при O3 остатка рамнозы (рис. 2А). Поэтому для трисахаридов с глюкозаминильным заместителем при O2 и их нейтральных аналогов следует ожидать расхождения в величинах $\Delta\Delta$, так как вероятно их конформационное различие. Однако это расхождение может и отсутствовать, поскольку степень взаимодействия с ацетамидной группировкой определяется характером моносахаридного заместителя при O3. Так, в случае пар трисахаридов (1), (6) и (5), (10) наблюдаются значительные расхождения в величинах $\Delta\Delta$, а в спектрах трисахаридов (2) и (7) эти величины совпадают.

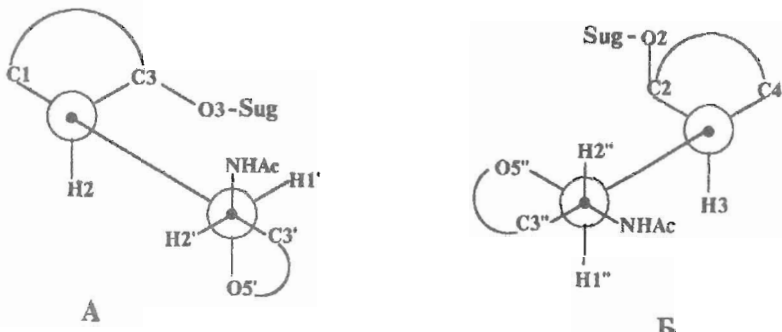


Рис. 2. Схематическое изображение ориентации ацетамидной группы относительно второго моносахаридного заместителя в трисахаридах, содержащих β -D-глюкозаминил- α -L-рамнозидный дисахаридный фрагмент со связями (1 → 2)- (A) и (1 → 3)- (B)

Анализ молекулярных моделей трисахаридов (1), (2) и (5) с учетом данных проведенного нами ранее [5, 6] конформационного анализа нейтральных аналогов (6), (7) и (10) позволяет объяснить причины различия величин $\Delta\Delta$ в спектрах пар трисахаридов (1), (6) и (5), (10) и совпадения в случае соединений (2) и (7). Так, для трисахарида (6) установлены две наиболее низкоэнергетические конформации со значениями углов межсвязевого вращения $\varphi' = 57,7^\circ$ и $\psi' = 19,0^\circ$ ($E = -7,1$ кДж/моль) в первом случае и $\varphi' = 40,6^\circ$ и $\psi' = -24,1^\circ$ ($E = -6,7$ кДж/моль) — во втором (обозначения углов приведены на рис. 1). Анализ молекулярной модели трисахарида (1) свидетельствует, что в конформациях с указанными углами вращения возможно значительное взаимодействие между ацетамидной и первичноспиртовой группой моносахаридного заместителя при O3, причем оно должно усиливаться с увеличением значения угла ψ' , т. е. при переходе к более энергетически выгодной конформации. Это взаимодействие, видимо, и является причиной конформационных различий между трисахаридами (1) и (6), и, как следствие, величины отклонений от аддитивности заметно различаются (различие $\Delta\Delta_{C3}$ составляет 1,5 м. д.).

Сравнение конформаций в рассматриваемых трисахаридах может быть проведено с использованием экспериментально определяемых ядерных эффектов Оверхаузера (ЯЭО). Сравнение данных для трисахаридов показывает, что наиболее наглядные величины — не непосредственно наблюдаемые ЯЭО, которые зависят от условий регистрации, а их относительные значения (по отношению к величине ЯЭО, наблюданной на протоне, связанном с гликозилированным атомом углерода). Так, при предоблучении протона H1' в трисахариде (1) соотношение относительных интенсивностей ЯЭО на H2 и суммарного ЯЭО на H3' и H5' составляет 1 : 3,6, в то время как в случае трисахарида (6) — 1 : 1,7 [6]. Эти величины убедительно свидетельствуют о большем расстоянии между протонами H1' и H2 в трисахариде (1), чем в (6), и объясняют более отрицательное значение величины $\Delta\Delta_{C2}$ в спектре трисахарида (1), так как ослабление взаимодействия протонов H1' и H2 уменьшает α -эффект гликозилирования [6]. Аналогичный анализ величин ЯЭО, наблюдавшихся после предоблучения протонов H1'' в соединениях (1) и (6), нами не проводился из-за перекрывания сигналов протонов H2', H3' и H2'' в спектре ^1H -ЯМР диглюкозаминилрамнозида (1) (см. табл. 1).

В случае пары трисахаридов (5) и (10) наблюдается различие величин $\Delta\Delta$ для C2 (1,2 м. д.) и C3 (1,5 м. д.) (см. табл. 3). Анализ молекулярной модели трисахарида (5) показывает, что при значениях углов $\varphi'' = -61,5^\circ$ и $\psi'' = -40,0^\circ$, найденных [6] для низкоэнергетического конформера соединения (10), возможно пространственное взаимодействие ацетамидной группировки и гидроксила при C2''. Вероятно, это и является причиной наблюдаемых различий величин $\Delta\Delta$ в спектрах соединений (5) и (10).

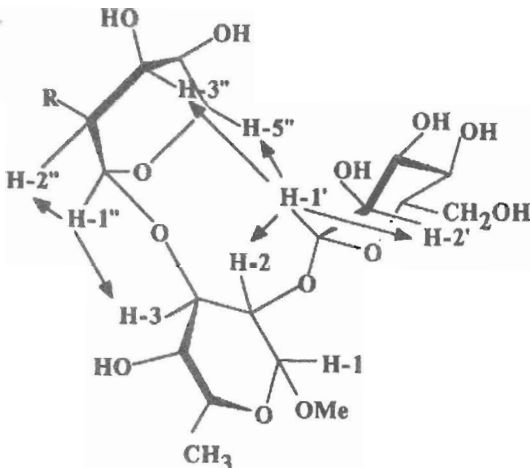


Рис. 3. Наблюдаемые ядерные эффекты Оверхаузера после предоблучения аномерных протонов $H1'$ и $H1''$ в трисахаридах (2) ($R = N\text{HAc}$) и (7) ($R = \text{OH}$). Приведена молекулярная модель низкоэнергетического конформера трисахарида (7) [6]

Как уже отмечалось выше, в случае трисахарида (2), содержащего глюкозаминильный заместитель при $O2$, и его нейтрального аналога (7) наблюдается совпадение величин $\Delta\Delta$ в спектрах ^{13}C -ЯМР, что, вероятнее всего, является следствием конформационного подобия этих соединений. Анализ молекулярной модели трисахарида (2) с учетом найденных ранее данных для соединения (7) [6] показывает, что при переходе от трисахарида (7) к (2) замена OH -группы на ацетамидную не должна приводить к заметным конформационным изменениям. Совпадение конформаций соединений (2) и (7) подтверждают и найденные экспериментально величины ЯЭО. Например, при предоблучении $H1'$ соотношение ЯЭО на $H2$ и суммарного ЯЭО на $H2'$, $H3'$ и $H5'$ составляет в обоих случаях 1 : 1,8. Особо надо отметить, что при предоблучении $H1'$ (см. рис. 3) в обоих трисахаридах наблюдаются небольшие ЯЭО на протонах $H3''$ и $H5''$ рамнозного заместителя при $O3$ (величина этих ЯЭО не была измерена в случае (2) из-за перекрывания сигналов $H2'$, $H3''$, $H5''$ и $H6'$), что особенно наглядно свидетельствует о конформационном подобии соединений (2) и (7). Это подтверждают и величины ЯЭО, наблюдавшиеся при предоблучении протонов $H1''$. Так, соотношения ЯЭО на протонах $H2''$ и $H3$ составляют в случае (2) и (7) соответственно 0,7 : 1 и 0,8 : 1.

Таким образом, на основании приведенных данных можно сделать вывод о том, что при переходе от вицинально разветвленных трисахаридов с нейтральными заместителями к стереохимически подобным трисахаридам, содержащим остатки аминосахаров, могут наблюдаться различия в величинах $\Delta\Delta$. Поэтому перенесение величин $\Delta\Delta$, полученных для модельных трисахаридов с нейтральными заместителями, на случаи соединений, содержащих в качестве заместителей остатки аминосахаров, может быть не всегда точным. Сказанное необходимо учитывать при формировании баз данных для компьютерного анализа разветвленных полисахаридов, а также при выборе величины допустимого различия между экспериментальными и рассчитанными спектрами при проведении компьютерного анализа разветвленных полисахаридов.

Экспериментальная часть

Методики очистки растворителей и реагентов, условия съемки спектров ЯМР и определения физико-химических констант приведены в работе [19]. Оптическое вращение водных растворов олигосахаридов (1)–(4), (25) и (28) измеряли на

цифровом поляриметре Jasko DIP-360 (Япония) при 26—30° С. Хроматографию в тонком слое проводили на пластинках с силикагелем Kieselgel-60 (Merck), вещества обнаруживали опрыскиванием 50—70% H₂SO₄ с последующим нагреванием при ~150° С. Колоночную хроматографию выполняли на силикагеле L40/100 мкм (ЧСФР), используя градиентное элюирование от бензола к этил-ацетату.

Метил-2,3-ди-O-(2-ацетамидо-2-дезокси-β-D-глюкопиранозил)-α-L-рамнопиранозид (1). 112 мг (0,1 ммоль) метил-2,3-ди-O-(3,4,6-три-O-ацетил-2-дезокси-2-фталимило-β-D-глюкопиранозил)-α-L-рамнопиранозида (11) растворяли при нагревании в 13 мл 96% этанола и 2 мл 99% гидразингидрата. Смесь кипятили 20 ч, упаривали и соупаривали с водой (3×5 мл). Остаток растворяли в 2 мл воды и 10 мл метанола, прибавляли 4 мл ацетангирида и оставляли на 18 ч при комнатной температуре. Смесь упаривали и соупаривали с водой (2×5 мл), остаток растворяли в 13 мл воды и 10 мл n-бутанола, водный слой отделяли, промывали бутанолом (2×10 мл) и упаривали. Из остатка гель-фильтрацией на колонке с биогелем P-4 (2,5×55 см, —400 меш, V₀ 110 мл) при элюировании 0,1 М уксусной кислотой выделяли 49 мг трисахарида (1). Выход 84%, [α]_D —5,4° (с 1).

Метил-2-O-(2-ацетамидо-2-дезокси-β-D-глюкопиранозил)-3-O-(α-L-рамнопиранозил)-α-L-рамнопиранозид (2). Смесь 123 мг (0,25 ммоль) метил-4-O-ацетил-3-O-(2,3,4-три-O-ацетил-α-L-рамнопиранозил)-α-L-рамнопиранозида (14) [16], 153 мг (0,61 ммоль) цианида ртути, 50 мг бромида ртути, молекулярных сит 4 Å и 3 мл абс. ацетонитрила перемешивали 1 ч в атмосфере аргона. Шприцем через силиконовую пробку в течение 3 ч порциями прибавляли раствор 302 мг (0,61 ммоль) 3,4,6-три-O-ацетил-2-дезокси-2-фталимило-D-глюкопиранозилбромида (18) в 1,4 мл ацетонитрила. Смесь перемешивали 17 ч, разбавляли 15 мл хлороформа и 15 мл насыщенного водного раствора KBr и фильтровали через слой целита, который затем промывали 15 мл хлороформа. Органический слой фильтрата отделяли, промывали раствором KBr (2×20 мл) и водой, фильтровали через слой ваты, концентрировали и из остатка колоночной хроматографией при градиентном элюировании от бензола к ацетону выделяли 174 мг (76%) защищенного трисахарида (15). В условиях синтеза трисахарида (1) полученный (15) далее переводили в целевой продукт (2). Выход 70 мг (70%), [α]_D —42,3° (с 1).

Метил-3-O-(2-ацетамидо-2-дезокси-β-D-глюкопиранозил)-2-O-(α-D-глюкопиранозил)-α-L-рамнопиранозид (3). В условиях синтеза трисахарида (2) гликозилированием 122 мг (0,16 ммоль) метил-4-O-бензил-2-O-(2,3,4,6-тетра-O-бензил-α-D-глюкопиранозил)-α-L-рамнопиранозида (16) [7] действием 200 мг (0,42 ммоль) глюкозаминилбромида (18) получали 143 мг (77%) защищенного трисахарида (17). Продукт (17) подвергали каталитическому гидрогенолизу в 10 мл этанола над 5% Pd/C при 40° С, смесь фильтровали через слой целита, упаривали, обрабатывали гидразингидратом и N-ацетилировали в условиях синтеза (1), получали трисахарид (3). Выход 31 мг (16%), [α]_D 28,7° (с 1).

Метил-3-O-(2-ацетамидо-2-дезокси-β-D-глюкопиранозил)-2-O-(α-L-рамнопиранозил)-α-L-рамнопиранозид (4). В условиях синтеза трисахарида (2) проводили гликозилированием 81 мг (0,25 ммоль) метил-2-O-ацетил-4-O-бензоил-α-L-рамнопиранозида (20) [17] с помощью 337 мг (0,5 ммоль) 3,4,6-три-O-бензоил-2-дезокси-2-фталимило-D-глюкопиранозилбромида (19) [17] получали 188 мг (82%) соединения (21), которое затем избирательным дезацетилированием в условиях мягкого метанолиза [7, 18] переводили в моногидроксильное производное (22) с выходом 165 мг (92%). В условиях синтеза трисахарида (2) гликозилированием дисахарида (22) с помощью 189 мг (0,35 ммоль) бензобромрамнозы (23) сначала получали защищенный продукт (24) (211 мг, 84%), а затем свободный трисахарид (4). Выход 65 мг (78%), [α]_D —56,4° (с 1).

Метил-2-O-(2-ацетамидо-2-дезокси-β-D-глюкопиранозил)-α-L-рамнопиранозид (25) получали из 120 мг (0,17 ммоль) дисахарида (13) в условиях получения трисахарида (1). Выход 51 мг (79%), $[\alpha]_D = -25,7^\circ$ (с 1).

Метил-3-O-(2-ацетамидо-2-дезокси-β-D-глюкопиранозил)-α-L-рамнопиранозид (28) получали аналогично из 170 мг (0,24 ммоль) дисахарида (12). Выход 84 мг (91%), $[\alpha]_D = -39,4^\circ$ (с 1).

Работа финансирована грантом 93-03-18196 Российского фонда фундаментальных исследований.

СПИСОК ЛИТЕРАТУРЫ

1. Шашков А. С., Нифантьев Н. Э., Кочетков Н. К.//Биоорган. химия. 1993. Т. 19. № 7. С. 756—759.
2. Lipkind G. M., Shashkov A. S., Kochetkov N. K.//Carbohydr. Res. 1990. V. 198. № 2. P. 399—402.
3. Lipkind G. M., Shashkov A. S., Nifant'ev N. E., Kochetkov N. K.//Carbohydr. Res. 1992. V. 237. P. 11—22.
4. Нифантьев Н. Э., Шашков А. С., Липкинд Г. М., Кочетков Н. К., Янн Б., Янн К.//Биоорган. химия. 1993. Т. 19. № 10. С. 980—987.
5. Lipkind G. M., Nifant'ev N. E., Shashkov A. S., Kochetkov N. K.//Can. J. Chem. 1990. V. 68. № 7. P. 1238—1250.
6. Kochetkov N. K., Lipkind G. M., Shashkov A. S., Nifant'ev N. E.//Carbohydr. Res. 1991. V. 221. P. 145—168.
7. Nifant'ev N. E., Lipkind G. M., Shashkov A. S., Kochetkov N. K.//Carbohydr. Res. 1992. V. 237. P. 95—113.
8. Нифантьев Н. Э., Амочаева В. Ю., Шашков А. С., Кочетков Н. К.//Биоорган. химия. 1993. Т. 19. № 6. С. 633—643.
9. Назаренко Е. Л., Горшкова Р. П., Оводов Ю. С., Шашков А. С., Книрель Ю. А.//Биоорган. химия. 1989. Т. 15. № 8. С. 1100—1106.
10. Altman E., Brisson J.-R., Perry M. B.//Biochem. Cell. Biol. 1986. V. 64. P. 1317—1325.
11. Coligan J. E., Kindt T. J., Krause R. M.//Immunochemistry. 1978. V. 15. P. 755.
12. Jansson P.-E., Lindberg B., Ogunlesi M., Svensson S. B., Wrangsell G.//Carbohydr. Res. 1984. V. 134. № 2. P. 283—291.
13. Kenne L., Lindberg B., Petersson K., Katzenellenbogen E., Romanowska E.//Eur. J. Biochem. 1978. V. 91. № 2. P. 279—284.
14. Бакиновский Л. В., Гомциан А. Р., Байрамова Н. Э., Кочетков Н. К.//Биоорган. химия. 1984. Т. 10. С. 79—87.
15. Нифантьев Н. Э., Амочаева В. Ю., Шашков А. С.//Биоорган. химия. 1992. Т. 18. № 4. С. 562—569.
16. Schwarzenbach D., Jeanloz R. W.//Carbohydr. Res. 1980. V. 81. № 2. P. 323—329.
17. Бухаров А. В. Дис... канд. хим. наук. М.: ИОХ РАН, 1989.
18. Byramova N. E., Ovchinnikov M. V., Backinowsky L. V., Kochetkov N. K.//Carbohydr. Res. 1983. V. 124. P. c8—c11.
19. Нифантьев Н. Э., Бакиновский Л. В., Липкинд Г. М., Шашков А. С., Кочетков Н. К.//Биоорган. химия. 1991. Т. 17. № 4. С. 517—530.
20. Nifant'ev N. E., Lipkind G. M., Shashkov A. S., Kochetkov N. K.//Carbohydr. Res. 1992. V. 223. P. 109—128.
21. Nifant'ev N. E., Amochaeva V. Y., Shashkov A. S., Kochetkov N. K.//Carbohydr. Res. 1993. V. 250. P. 211—230.
22. Shashkov A. S., Nifant'ev N. E., Amochaeva V. Y., Kochetkov N. K.//Magn. Res. Chem. 1993. V. 31. P. 599—605.
23. Arnott S., Scott W. E.//J. Chem. Soc. Perkin Trans. II. 1972. № 3. P. 324—335.
24. Lipkind G. M., Shashkov A. S., Mamyan S. S., Kochetkov N. K.//Carbohydr. Res. 1988. V. 181. № 1. P. 1—12.
25. Lemieux R. U., Bock K., Delbaere L. T. J., Koto S., Rao V. S.//Can. J. Chem. 1980. V. 58. P. 631—653.
26. Bock K.//Pure Appl. Chem. 1983. V. 55. P. 605—622.
27. Paulsen H., Peters T., Sinwell V., Lebuhn R., Meyer B.//Justus Liebigs Ann. Chem. 1984. S. 951—976.

Поступила в редакцию
14.III.1994

*N. E. Nifant'ev, A. S. Shashkov, E. A. Khatuntseva,
Y. E. Tsvetkov, A. A. Sherman, N. K. Kochetkov*

**SYNTHESIS AND CONFORMATIONAL STUDIES OF BRANCHED
OLIGOSACCHARIDES. 15. 2,3-DI-O-GLYCOSYLATED METHYL
 α -L-RHAMNO PYRANOSIDES CONTAINING
2-ACETAMIDO-2-DEOXY- β -D-GLUCOPYRANOSYL RESIDUES**

*N. D. Zelinsky Institute of Organic Chemistry, Russian Academy of Sciences,
Moscow*

Key words: ^{13}C -NMR spectroscopy, branched oligosaccharides, deviations from additivity in NMR spectra.

A series of methyl 2,3-di-O-glycosyl- α -L-rhamnopyranosides with 2-acetamido-2-deoxy- β -D-glucopyranosyl substituents have been synthesized and the deviations from additivity ($\Delta\Delta$) in their ^{13}C -NMR spectra determined. It is shown that the $\Delta\Delta$ values for the trisaccharides with the GlcNAc substituent at O-2 of the diglycosylated Rha may markedly differ from the $\Delta\Delta$ values in the spectra of the respective trisaccharides with the Glc substituent. These deviations are probably associated with the intramolecular spatial interactions with participation of the NHAc-group.